

## تصنيع كاشف السيلكون المطعم ودراسة خواصه الكهروبصرية

ياسين حميد محمود<sup>١</sup> و محمد شباع مرعي<sup>١</sup> و نادية عبدالرحمن ياسين<sup>١</sup>

<sup>١</sup> قسم الفيزياء ، كلية العلوم ، جامعة تكريت ، تكريت ، العراق

<sup>٢</sup> قسم التربية ، كلية التربية ، جامعة تكريت ، تكريت ، العراق

( تاريخ الاستلام: ١٥ / ٤ / ٢٠٠٨ ، تاريخ القبول: ١٦ / ٩ / ٢٠٠٨ )

### الملخص

في هذا البحث تم تصنيع كاشف السيلكون المطعم بالفضة بطريقة الاشابة بالانتشار الحراري كما تم دراسة بعض خواصه الكهروبصرية حيث اثبتت النتائج بان لكاشف استجابة طيفية بحدود (0.5A/W) عند الطول الموجي (900nm) بينما بلغت قيمته الكشفية (5\*10<sup>11</sup>cmHZ<sup>1/2</sup>W<sup>-1</sup>)

### المقدمة:

#### الجانب العملي:

يتضمن هذا الجانب تصنيع الكاشف بطريقة الانتشار الحراري واجراء القياسات الازمة لتحديد خصائصه الكهربائية ابتداء من تحضير شرائح السيلكون حيث تضمنت عملية استخدام شرائح السيلكون احادية التبلور من نوع (p-Type) ذات معاملات ميلار (111) ويسمك (500μm) وتصنيعية كهربائية ( $\Omega^{-1} \text{ cm}^{-1}$  0.2)، في البدء تم تنظيف الشرائح بالماء المقطر وغسلها بکحول الايثانول في جهاز البنبات فوق الصوتية لمدة (١٥) دقيقة بعد ذلك تم اجراء عملية التنظيف الكيميائي للتخلص من الطبقات الموجودة على السطح وطبقة الاوكسيد التي قد تكون موجودة على السطح حيث وضعت العينات في حامض الخليك ( $\text{CH}_3\text{COOH}$ ) وحامض التريك (HNO<sub>3</sub>) مضافا اليها حامض الهيدروكلوريك (HF) والذي (CP-4) بنسبة حجمية (2:3:2) وبتركيز 70% ، 99% ، 49% على التوالي ووضعت الشرائح في المحلول لمدة (٣) دقائق بعد ذلك جفت العينات بالهواء الساخن بعد هذه العملية تم ترسيب غشاء رقيق من مادة الفضة النقية (99.99) على شرائح السيلكون باستخدام منظومة التبخير الحراري نوع(Balzers BaE 370) تحت ضغط واطي بحدود (10<sup>-5</sup>) اذ تتكون المنظومة بشكل عام من حجرة التبخير التي تحتوي على اقطاب كهربائية بينهما حويض تبخير من مادة المولبدينوم (Mo) وذلك لوضع المادة المراد تبخيرها مع حامل لقواعد الترسيب (Substrate) بالإضافة الى بلورة الكوارتز التي تقوم بقياس سمك الغشاء المرسوب اثناء عملية التبخير، كما يفضل بين حويض التبخير وحامل العينات حاجز (Shutter) يعمل على منع او ايقاف عملية الترسيب عند الوصول الى السمك المطلوب وتفرغ حجرة التبخير بنوعين من المضخات الميكانيكية ذات مرحلتين (Double Stage Rotary Pump) كتفريغ لغاية 10<sup>-3</sup> Torr) يعقبها عمل المضخة الانتشارية (Diffusion Pump) كتفريغ الحجرة الى 10<sup>-7</sup> Torr مع وجود قياس ضغط نوع (Penning Gauge) وقد تم ترسيب غشاء الفضة بسمك (0.03μm) علما بان نقاوة مادة الفضة هو (99.999) تؤخذ العينة بعد ذلك وتوضع في زجاجة التلدين وهي زجاجة من مادة الكوارتز مفرغة من الهواء لغاية 10<sup>-5</sup> وتوضع الزجاجة في داخل الفرن بدرجة 450°C لمدة ٢٥ دقيقة بعدها يتم اخراج العينة وتنظيفها بمحلول هيدروكسيد الصوديوم (NaOH) المخفف بالماء المقطر، يتم عمل قناع خاص من مادة الالمنيوم وتجهيزها لغرض طلاء الاقطاب حيث تغطى جميع اجزاء العينة عدا الجزء المراد

ان تصنيع الكواشف باختلاف انواعها مرت بمراحل مختلفة وقد انجزت عدة بحوث في مجال الانشعة تحت الحمراء [1] حيث تمت دراسة الانتشار المحتث والعيوب في الجرمانيوم [2] اعقب ذلك دراسة الانتشار في بلورة ارسنيد الكالسيوم [3] وغيرها من الكواشف ذات التطبيقات في مجال الانشعة تحت الحمراء، كما يتضمن البحث محورين اساسيين هما تصنيع الكاشف السيلكوني بطريقة الانتشار الحراري واجراء القياسات المهمة التي لها علاقة في تحديد خصائصه وعمله ثم تحضير العينة بعد ترسيب الفضة عليها واجراء عملية التلدين بمعزل عن الهواء وذلك للحصول على كاشف سيلكوني ضمن المواصفات القياسية [4] يعمل بالمدى (250-1200nm) وله استجابة طيفية جيدة عند الطول الموجي (800-950nm) وسرعة عالية للاستفادة منه في انظمة التحسس بالاضاءة واجهزه السيطرة بالأشعة تحت الحمراء والليزر.

#### الجانب النظري:

ان عمل الكواشف يعتمد بشكل اساسي على نوعين من عمليات الامتصاص وهما:

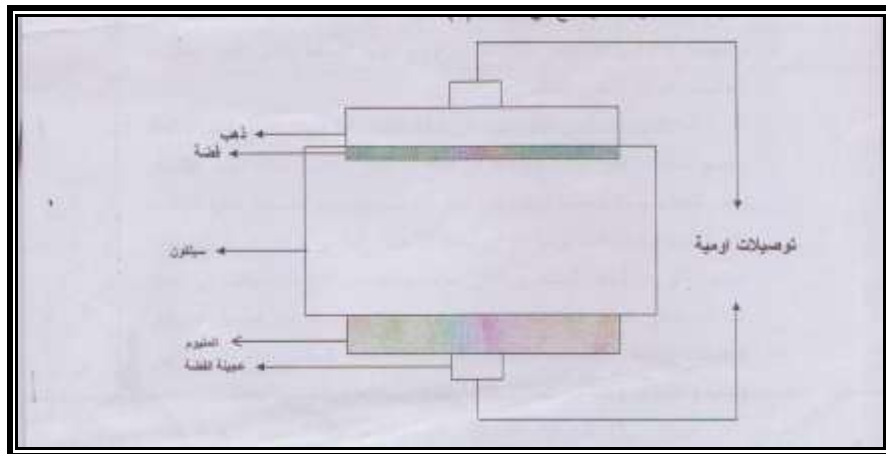
١. عمليات الامتصاص الاساسية: تحصل هذه العملية اذا كانت طاقة الفوتون الساقط اكبر من فجوة الطاقة للمادة شبه الموصولة  $h\nu \geq Eg$  حيث  $h$ : ثابت بلانك ،  $\nu$ : التردد ،  $E_g$ : طاقة الفجوة وينشأ عن هكذا امتصاص توليد مزدوج الكترون-فجوة بسبب انتقال الالكترون من حزمة التكافؤ الى حزمة التوصيل ويعتمد معامل الامتصاص لهذه المواد على مقدار ونوع فجوة الطاقة وعلى طاقة الفوتون الساقط وتختلف عملية الامتصاص للمواد ذات الفجوة المباشرة مثل السيلكون وارسنيد الكالسيوم [5]

٢. عمليات الامتصاص بواسطة الشوائب: وتحصل اذا كانت طاقة الفوتون الساقط اقل من فجوة الطاقة للمادة شبه الموصولة ( $E_g > h\nu$ ) ولكنها اكبر من طاقة التلدين للذرة الشائبة، في عمليات الامتصاص هذه يتولد اما الالكترون حر وايون موجب او فجوة حر وايون سالب ويتناوب معامل الامتصاص بالشوائب ( $\alpha_{im}$ ) مع تركيز الشوائب المتباينة حراريا  $N_T$  ومع مساحة المقطع العرضي للامتصاص (5) [6]

$\sigma = N_T * \alpha_{im}$  وبشكل عام يكون معامل الامتصاص بالشوائب اقل من معامل الامتصاص للعمليات الاساسية ومن الكواشف التي تعمل بهذه الميكانيكية هي كواشف التوصيلية غير الذاتية.

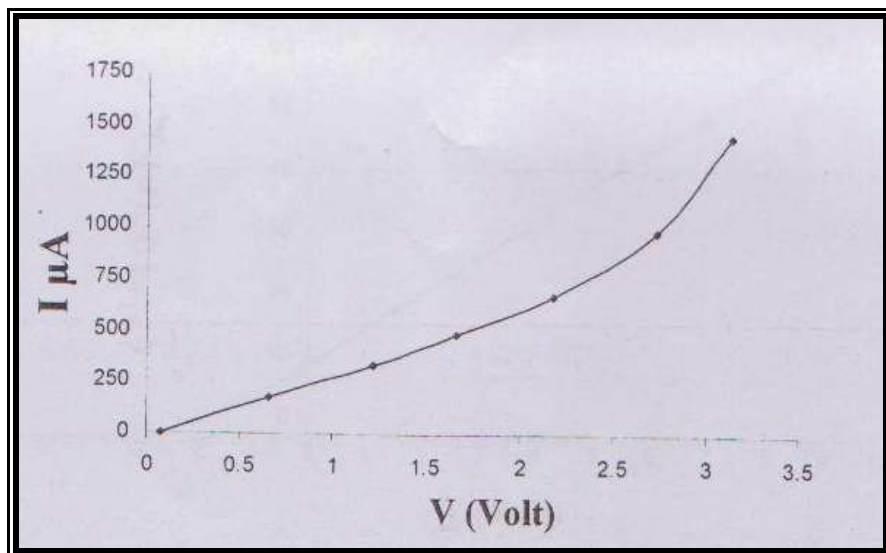
(type) بعد ذلك تقطع العينة وتنبت على قواعد ترانزستور بعد ربط اسلاك توصيل لها بمادة عجينة الفضة (Silver Paste). والشكل رقم (١) يوضح لنا كاشف السيليكون المصنوع.

طلائمه وبذلك يتم طلاء طبقة الذهب بسمك ( $1\mu\text{m}$ ) على الوجه (n-type) ومادة الالمنيوم على الوجه (p-type) وبنفس السمك ( $1\mu\text{m}$ ). فحصت العينة قبل عملية طلاء الاقطاب للتتأكد من نوعية الحاملات هل هي الفجوات ام الالكترونات علما ان الشريحة الاساسية كانت من نوع (p-



شكل (١) الكاشف مع الاقطاب المرسية عليه

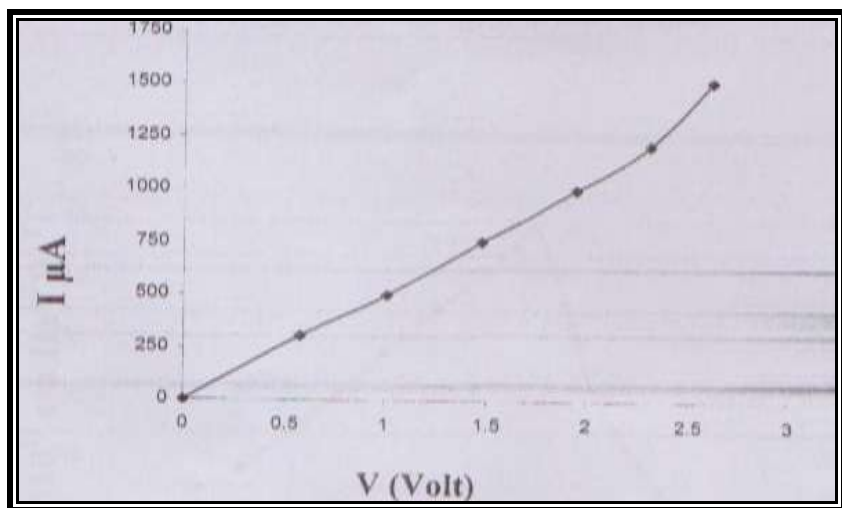
**النتائج والمناقشة:** تمثل خصائص تيار - جهد في حالة الظلام احد المعلمات المهمة في فحوصات الكواشف ومن خلاله يتضح لنا سلوكية التيار مع الجهد على طرفي الكاشف في الانحياز الامامي والخلفي كما موضح في الشكل (٢).



شكل (٢) خصائص تيار جهد عند الظلام

الاتحاد، يمكن تقسيم منطقة تيار جهد في حالة الانحياز الامامي الى منطقتين الاولى تمثل قيما من الجهد الواطئ وتكون الزيادة في التيار قليلة وهذه الزيادة نتيجة لتغير تيار الاتحاد مع الجهد من خلال تغير عرض منطقة النضوب والمنطقة الثانية يزداد التيار بشكل متزايد مع الجهد المسلط والتي تعد منطقة الفولتيات العالية او تيار الانتشار . اما نتائج خصائص تيار-جهد في حالة الاضاءة فيمثلا شكل (٣).

من خلال الشكل (٢) نلاحظ تغير تيار الانحياز الامامي والعكسى كدالة لظروف التصنيع وبشكل عام ينشأ تيار الانحياز الامامي في حالة الظم نتيجة انتقال حاملات الشحنة الاغلبية والجهد المسلط يعمل على حقن حاملات الشحنة مما ينتج عنه انخفاض في قيمة جهد البناء الداخلي وتناقص عرض منطقة النضوب ويكون تركيز الحاملات بنوعيه الاقلية والاغلبية اكبر من مربع تركيز الحاملات الذاتية ولهذا ينشأ تيار اعادة

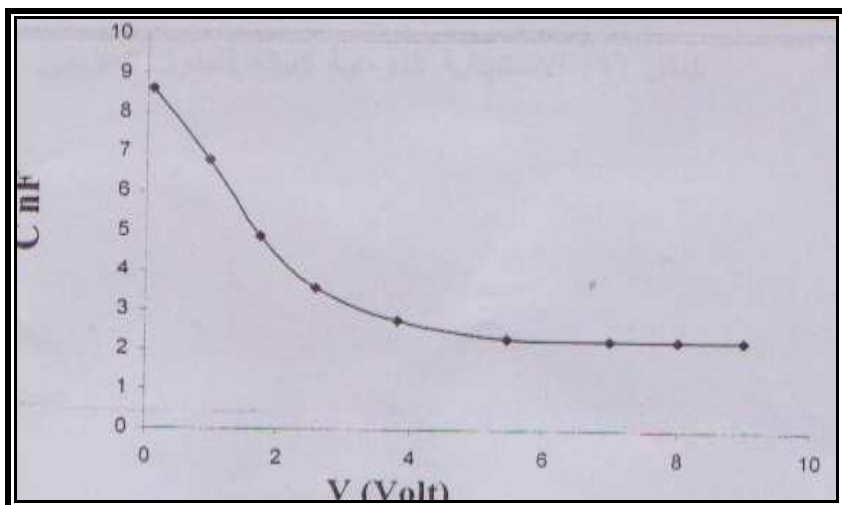


شكل (٣) خصائص تيار-جهد عند الاضاءة

والانتشار وكما في العلاقة الآتية [7]  $I_{ph} = qA_dG_{ph}(w \pm L_n + L_p)$  حيث  $G_{ph}$  معدل توليد الحاملات الضوئية وهو دالة لمعامل الامتصاص  $L_p$  ،  $L_n$  عمق الانتشار للحاملات  $I_{ph}$  التيار الضوئي.

وكذلك فإن زيادة الجهد تسبب زيادة في قيمة المجال الكهربائي ضمن منطقة النضوب مما يؤدي إلى احتمالية فصل المزدوج (الكترون-فجوة) والمساهمة في التيار الضوئي. أما خصائص سعة-جهد فيتمثلها الشكل (٤).

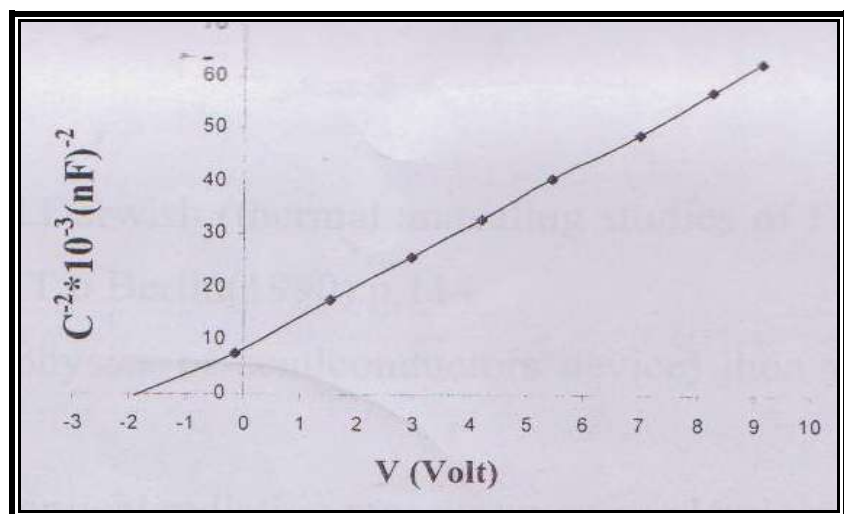
يوضح منحنيات تغير تيار الاضاءة في حالة الانحياز العكسي دالة لجهد الانحياز وعدد كثافة ضوئية مختلفة وبشكل عام ابدي الكاشف المصنوع استجابة عالية لكتافة القدرة الضوئية الساقطة حيث انه في حالة الانحياز العكسي يزداد عرض منطقة النضوب بزيادة الجهد المسلط وبالتالي سوف يستقى من الاشعة الساقطة في فصل مزدوجات الكترون-فجوة في منطقة النضوب وعلى طرفيها وبشكل مساو الى عمق انتشار حاملات الالقية ولذلك التيار الضوئي في حالة الانحياز العكسي دالة كذلك من تيار التوليد



شكل (٤) خصائص تيار سعة

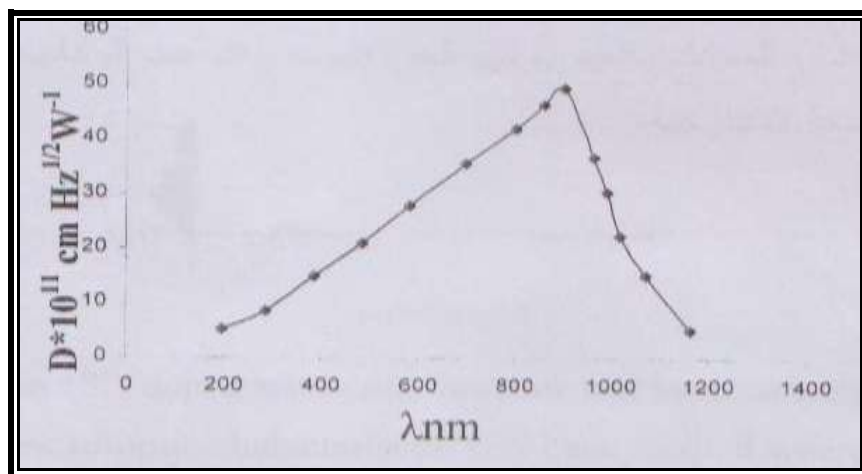
يلاحظ من المنحني تناقص السعة مع زيادة الجهد العكسي ويزداد عرض منطقة النضوب مما يؤدي إلى نقصان سع الوصلة كما يلاحظ ان السعة تتناقص بشكل اسي اي تتحقق العلاقة [8]  $C = KV^y$  حيث  $K$  ثابت ( $y$ ) يحدد نوع الوصلة وتحديد نوع الوصلة نرسم علاقه بين مقلوب مربع السعة مع الجهد العكسي شكل رقم (٥).

حيث تم فحص العينات بواسطة جهاز (Impedens Analyzer) باعطاء فولتنية وتزدادات معينة للعينة وقياس السعة في كل مرة دالة للتعدد والجهد وبعد ذلك يتم رسم العلاقة بين السعة والجهد وهي احدى الخصائص التي يعول عليها في وصف الوصلة المترکونة وتحديد نوعيتها وكذلك نستطيع من خلالها معرفة كل من جهد البناء الداخلي وعرض منطقة النضوب [2]، أما الشكل (٥) فيوضح خصائص سعة-جهد عند الانحياز العكسي حيث



شكل (٥) مقلوب مربع السعة دالة لفرق الجهد

اذ نلاحظ ان المقدار  $y$  يساوي  $\frac{1}{2}$  وهذا يدل على ان الوصلة من النوع  $y = \frac{1}{2}x$  [7-9]. ومن المعلومات المهمة التي يمكن الحصول عليها من  $y = \frac{1}{2}x$  هي مقدار حاجز جهد البناء الداخلي ( $V_{bi}$ ) الذي يعطي من نقاطع الخط المستقيم لمنحنى ( $V-1/C^2$ ) مع محور الجهد  $V$  [9]. اما الشكل (٦) فيمثل العلاقة بين الطول الموجي والاستجابة.



شكل (٦) الاستجابة النوعية دالة للطول الموجي

ان على استجابة عند الطول الموجي ( $0.9\mu\text{m}$ ) ( $0.5\text{A/W}$ ) (A) مساحة الكاشف ( $I_n$ ) التيار (ضوئي + ظلام) ( $\Delta f$ ) عرض النطاق الترددية. حيث تعتبر من اهم العوامل في تقسيم الكاشف من خلال ذلك نلاحظ ان الكاشف يستجيب بشكل جيد لليزر النبضي ( $0.94\mu\text{m}$ ,  $200\text{sec}$ ) وكذلك لليزر الياك ( $1.06\mu\text{m}$ )

بعدها بالقصان قبل وبعد القمة وهي ميزة الكاشف الفوتونية ويعزى وجود قمة استجابة الى كون معامل الامتصاص لمادة السيلكون لهذا الطول الموجي اقل من نظيره للمنطقة المرئية وبالتالي فان عمق الامتصاص ( $\alpha$ ) <sup>1</sup> يكون اكبر اي ان امتصاصه للضوء يكون ضمن منطقة النضوب او طول الانتشار للحاملات فيسهم بشكل فعال في زيادة مقدار الاستجابة-[8] D\* = S<sub>λ</sub> (D\*)  $= S_{\lambda} (A \Delta f)^{1/2} / I_n$  [2] ومن خلال الاستجابة نجد قيمة الكثافة النوعية

**المصادر**

6. W.L. Brown , J. Vac, Sci. Technol. Vol. 20, No.3 (1982).
7. A.S. Gove “physics & technology of semiconductors Devices, John Willy & Sons, INC. (1967), P,180.
8. S.G.Kivak & G.N. Saritskil, Sov. Phys semiconductors Vol.18.No.11, (1984), p, 1223.
9. D.A. Vakhabov, As. Zakirov, N.I. Ibragimov, Sov, Phys. Semiconductors Vol.15, No.4, (1981), P, 455.
1. M.C.Schlamp, X. Pengand A.P. Alivisatos, J.Appl, phys. 82(1997)5837.
2. S.M. Sze. (physics of semiconductors device) Jhon Willy and Sons (1981).
3. W. Budde (optical radiation measurement) academic press Vol.4, (1983) p, 268.
4. A. Zunger (solid state theory photo voltac conference Junuary 2005, 192)
5. R.A Smith semiconductors 2<sup>nd</sup> edition Cambridge University press, London (1978) p, 190, 191, 197.

**Fabrication and Study the Optoelectronics Properties of Silicon detector**

**Yassin .H. Mahmood<sup>1</sup>, Mohammed Sh. Marie<sup>1</sup>, Nada A. Yassin<sup>2</sup>**

<sup>1</sup>*Department of Physics , College of Science, University of Tikrit, Tikrit, Iraq*

<sup>2</sup>*Department of Physics , College of Education, University of Tikrit, Tikrit, Iraq*

(Received 15 / 4 / 2008 , Accepted 16 / 9 / 2008)

**Abstract:**

Silicon doped with silver detectors has been constructed in this work, it is optoelectronic characteristics also has been studied where the results showed that the spectral responsively was around (0.5A/W) at (900nm) wave length, while detectives reaches ( $50*10^{11}$  cm HZ<sup>1/2</sup> W<sup>-1</sup>).